

EECS2020_HW3

108032053 陳凱揚

1. Try to be familiar with the properties of the implemented CTFT

(a) 由於 $\cos(2\pi F_0 t) = \frac{1}{2}(e^{j2\pi F_0 t} + e^{-j2\pi F_0 t})$ ，因此透過公式計算出的

$X(F) = \delta(F \pm F_0)$ ，而程式所計算的 magnitude spectrum 如下圖 1-1 所示，雖然樣子大致相似，但他不是一個完美的 *delta function*，這是由於我們所使用的 $x(t)$ 不是一個完美的週期函數，其實際上為一個 *cosine* 乘上一個 *rectangular function*，如圖 1-2 所示，

$$x(t) = (\text{cosine}) \times (\text{rectangular function})$$

$$\rightarrow X(F) = \delta(F \pm F_0) * \text{sinc function}$$

$$\rightarrow X(F) = \text{two sinc function at } \pm F_0$$

此結果即為圖 1-1 的樣子。

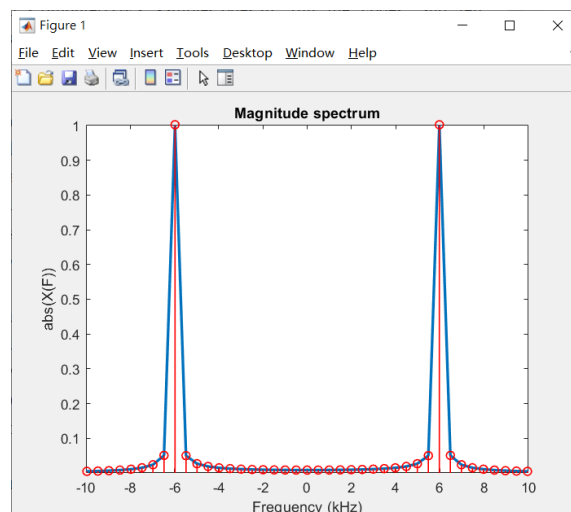


圖 1-1

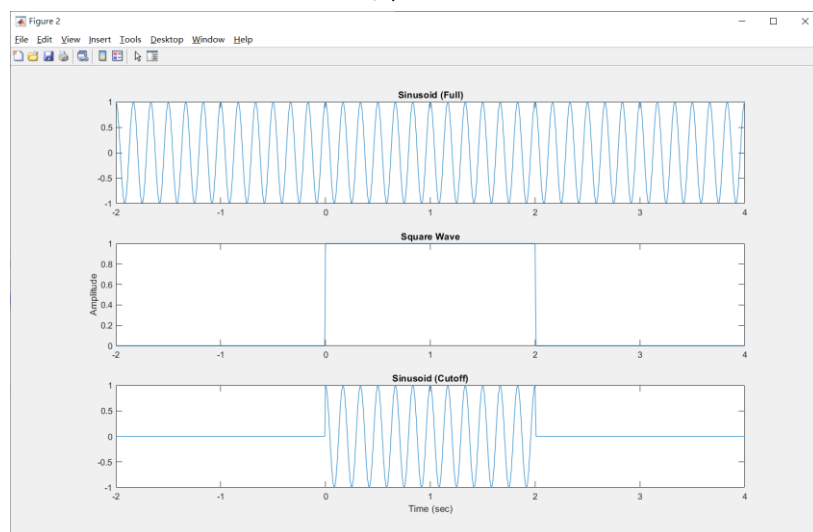


圖 1-2

- (b) 此程式的執行步驟先將 $x(t)$ 進行取樣取得 $x[n]$ ，再以 $x[n]$ 一點一點計算 $X(F)$ ，即為取樣 $X(F)$ ，因此在 time domain 和 frequency domain 皆為 discrete，則我們程式所做的即為 DTFS，這是由於我們無法以電腦計算無限點，只能透過取樣獲得有限點作為計算來近似出 CTFT。以下為我們的近似過程：

$$\begin{aligned}
 X(j\Omega) &= \int_{-\infty}^{\infty} x(t)e^{-j\Omega t} dt \\
 &\rightarrow X(j2\pi F) = \int_{-\infty}^{\infty} x(t)e^{-j2\pi Ft} dt \\
 &\rightarrow X(F) = \int_{-\infty}^{\infty} x(t)e^{-j2\pi Ft} dt = \int_{-\infty}^{\infty} x(t)y(t)dt, \text{ where } y(t) = e^{-j2\pi Ft} \\
 x(t) &= x(nt) \rightarrow x[n], y(t) = y(nt) \rightarrow y[n] \\
 X(F) &= \int_{-\infty}^{\infty} x(t)y(t)dt \approx \sum_{-\infty}^{\infty} x(nT)y(nT)T \approx T \sum_{-\infty}^{\infty} x(nT)e^{-j2\pi FnT} \\
 F &\rightarrow F_k = k * dF, dF = \frac{Fs}{N} \\
 &\rightarrow X(F) = T \sum_{-\infty}^{\infty} x(nT)e^{-j2\pi k \frac{Fs}{N} nT} \rightarrow X[k] = T \sum_0^{N-1} x[n]e^{-\frac{j2\pi k}{N}n}
 \end{aligned}$$

而 DTFS 為 $a_k = \frac{1}{N} \sum_0^{N-1} x[n]e^{-\frac{j2\pi k}{N}n}$ ，可看出兩者一致。

- (c) 下圖 1-3 上為我們的程式所執行的結果，中為以 $X = fft(x)$ 計算之結果，下為修正 $X = fft(x)$ ，使其結果與我們的程式相同，用來加快程式效率。經過觀察可發現 $X = fft(x)$ 所做的為 DFT，且取樣範圍為 $[0, Fs]$ ，而我們的程式取樣範圍為 $[-Fs/2, Fs/2]$ ，因此我們可用 `fftshift()` 函數來將取樣範圍平移 $Fs/2$ ，再透過乘上 $T = 1/Fs$ ，將 DFT 轉換為 DTFT，完整步驟為 $X = T * fftshift(fft(x))$ 。以下分別為我們程式及 `fft()` 所對應之公式，可看出其只相差一個 $T = 1/Fs$ 。

$$\text{Sample code : } X[k] = T \sum_0^{N-1} x[n]e^{-\frac{j2\pi k}{N}n}$$

$$fft() : X[k] = \sum_0^{N-1} x[n]e^{-\frac{j2\pi k}{N}n}$$

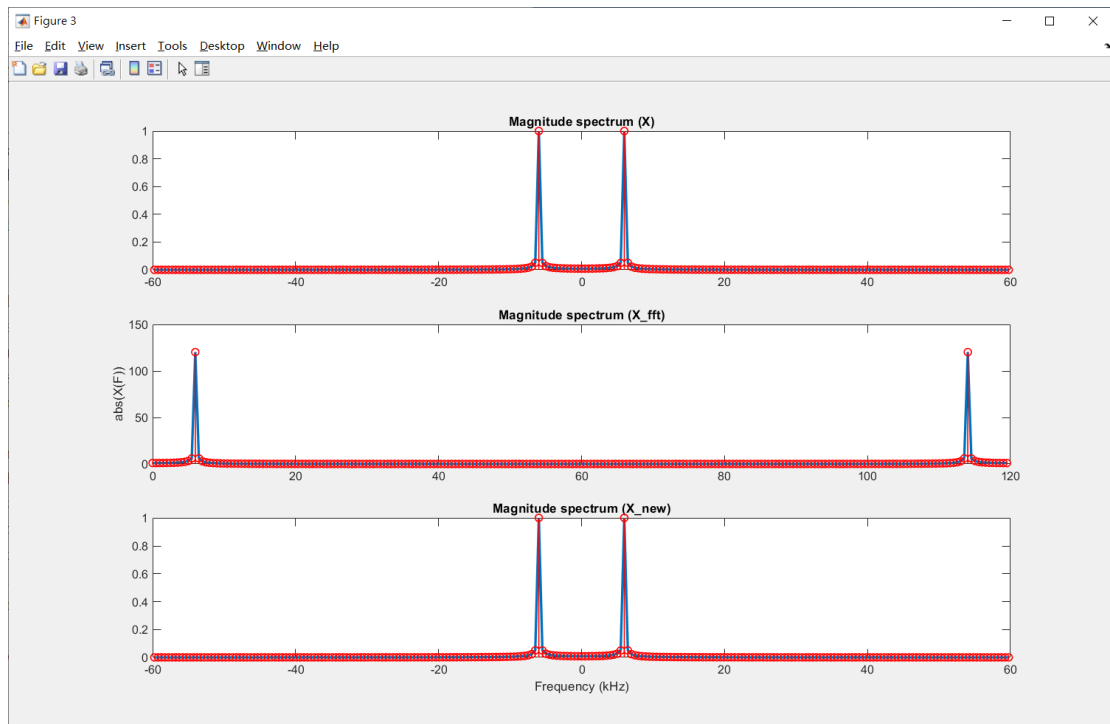


圖 1-3

- (d) 為了得到更平滑曲線的 magnitude spectrum，代表我們必須增加在 frequency domain 的取樣點，也就是降低 dF ，而 $dF = Fs/N$ ，在 time domain 的 Fs 不變的情況下，我們必須增加 N 值。為了不使 magnitude spectrum 改變，我們在 time domain 上插入 0 來增加 N ，即為 zero padding，如下圖 1-4 所示，而其所做出之 magnitude spectrum，如下圖 1-5 所示。此外，此平滑的 magnitude spectrum 更接近於我們想獲得的 CTFT spectrum，更清楚表現出了我們在 (a) 小題所做出的結果，應為兩個 sinc function，分別位於 $\pm F_0$ 。

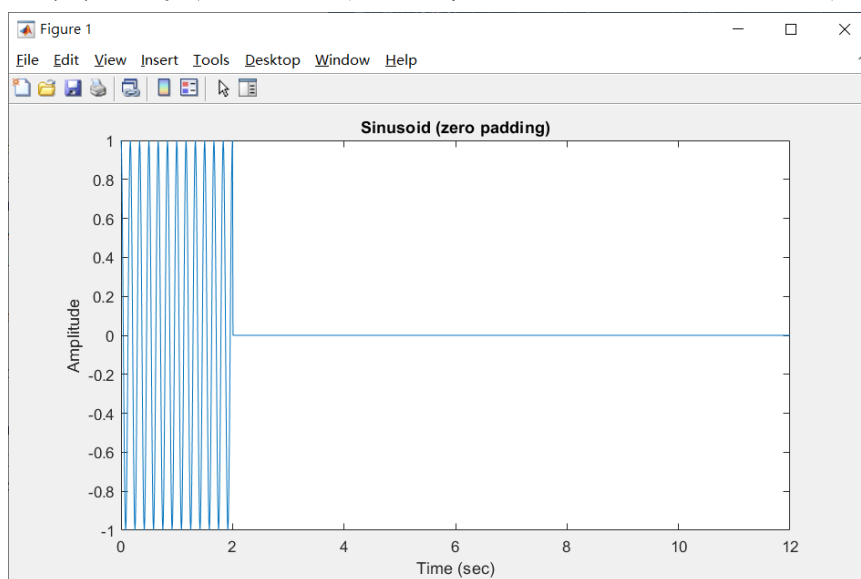


圖 1-4

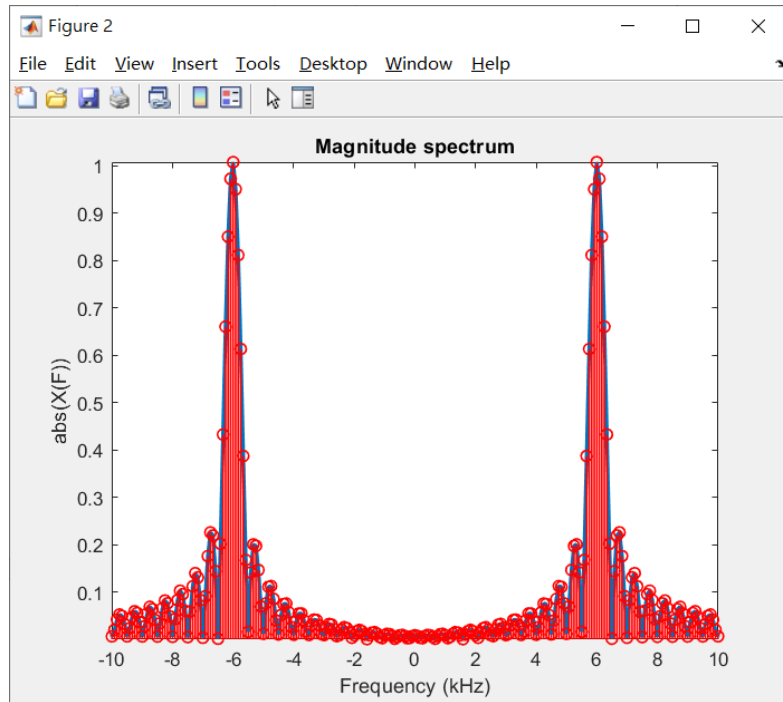


圖 1-5

(e) 下圖 1-6 為取樣範圍為 $[-F_s/2, F_s/2]$ 的 magnitude spectrum，下圖 1-7、圖 1-8 分別將取樣範圍改變為 $[-F_s, F_s]$ 、 $[-2F_s, 2F_s]$ ，可以發現圖形具有週期性，以頻率 F 為 x 軸時，週期為 F_s ，若以標準化頻率 f 為 x 軸時，週期則為 $F_s/F_s = 1$ 。這是由於我們在 time domain 的資料為 discrete，則將其轉換為 frequency domain 後，會具有週期性，且其週期為 F_s 。

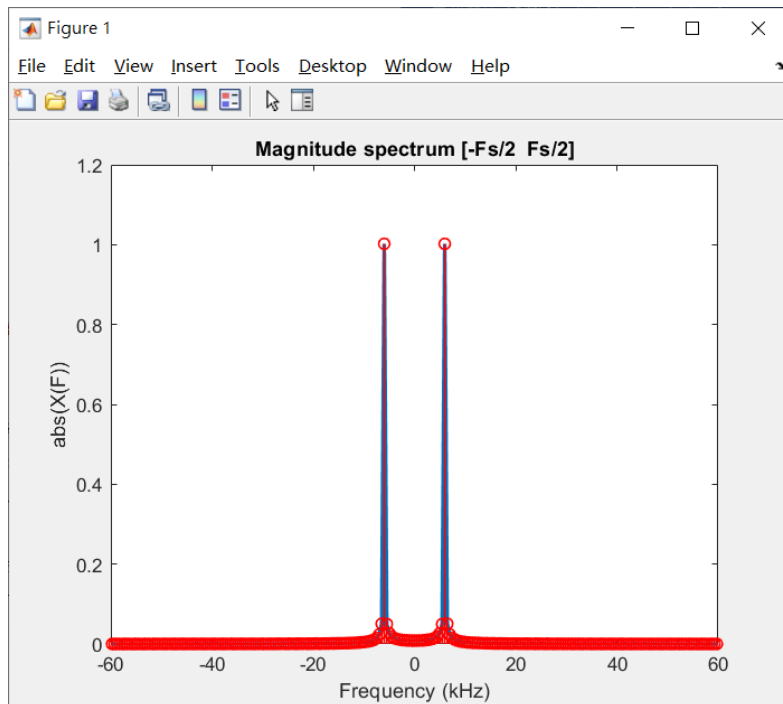


圖 1-6

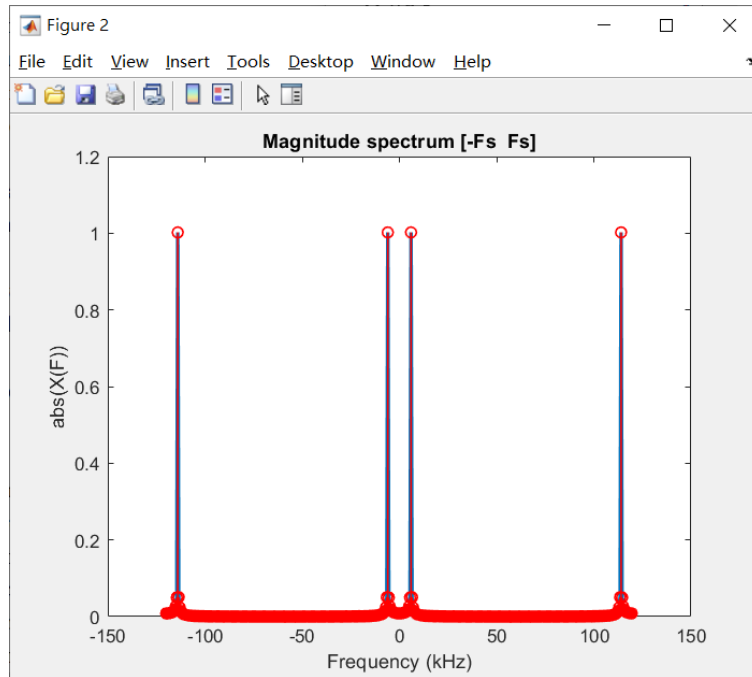


圖 1-7

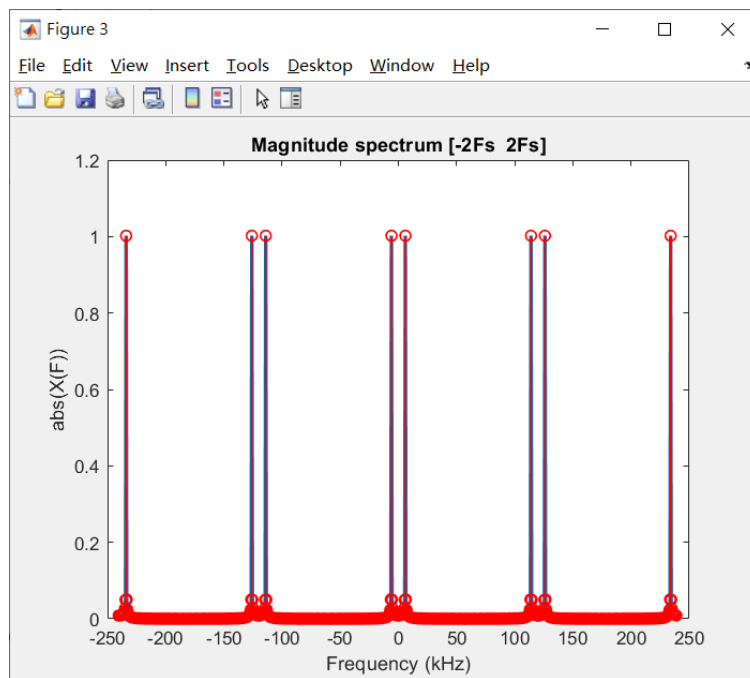


圖 1-8

- (f) 下圖 1-9~圖 1-15 分別為 $F_0 = 0, 6, 30, 60, 90, 114, 120\text{kHz}$ 所產生之 magnitude spectrum，可發現當 F_0 由 0 遞增至 60 時，time domain 震盪越來越大，而 $\text{abs}(X(F))$ 的最大值由 $k * F_s$, $k \in \mathbb{Z}, (\dots, 0, 120, \dots)$ 逐漸往 $(k + 1/2) * F_s$, $k \in \mathbb{Z}, (\dots, -60, 60, \dots)$ ，但當 F_0 超過 $F_s/2 = 60$ 時，frequency domain 的圖形會產生混疊，使其原始資訊無法保存下來，無法得知原始的頻率。若以標準化頻率來看的話，所能保持資

訊的最高頻率為 $\frac{F_s}{2} = 0.5$ 。

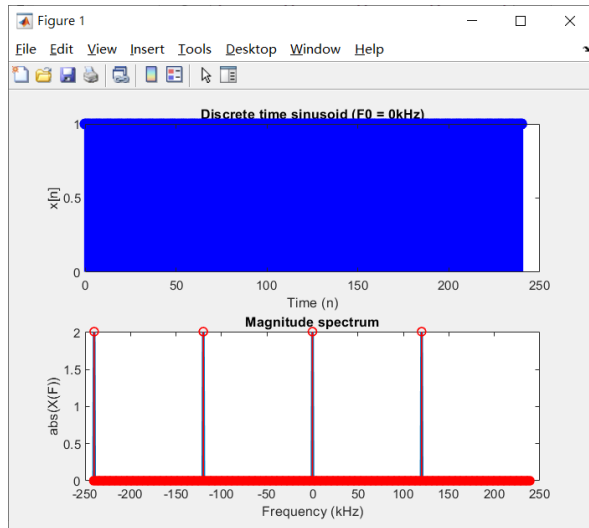


圖 1-9

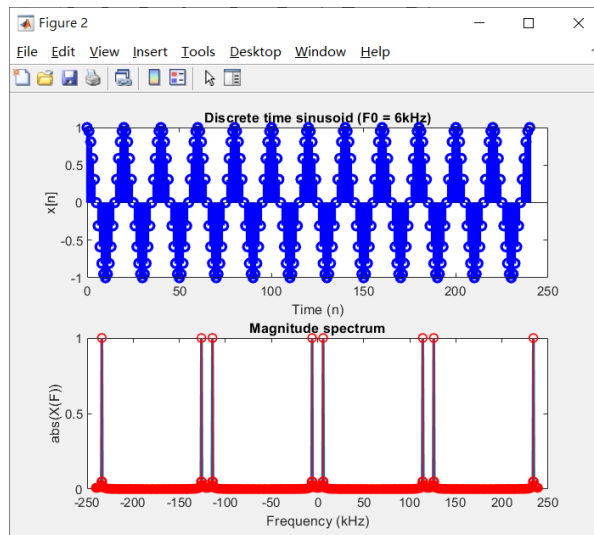


圖 1-10

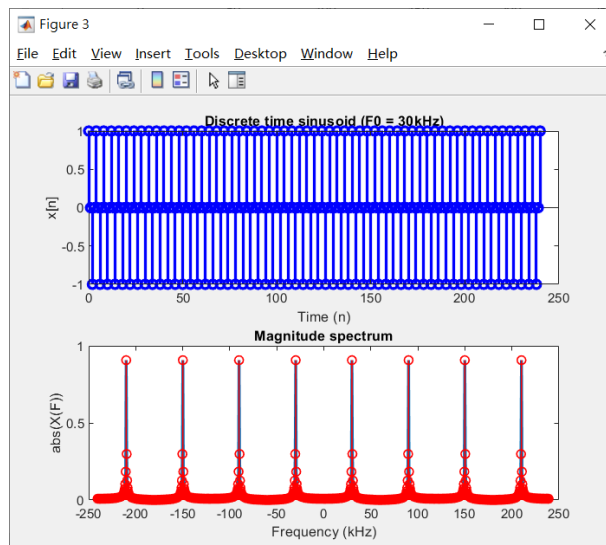


圖 1-11

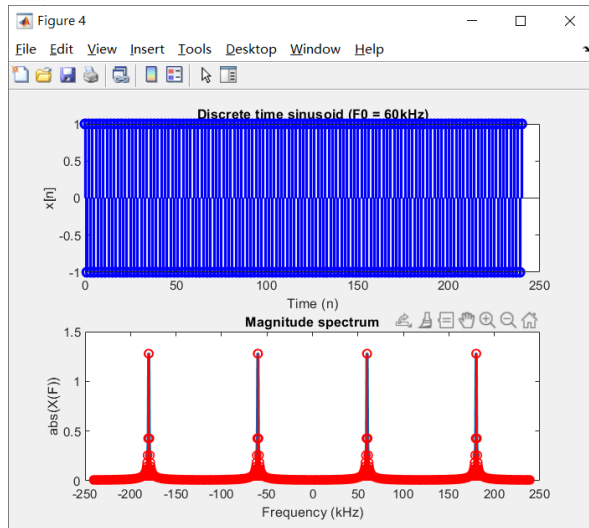


圖 1-12

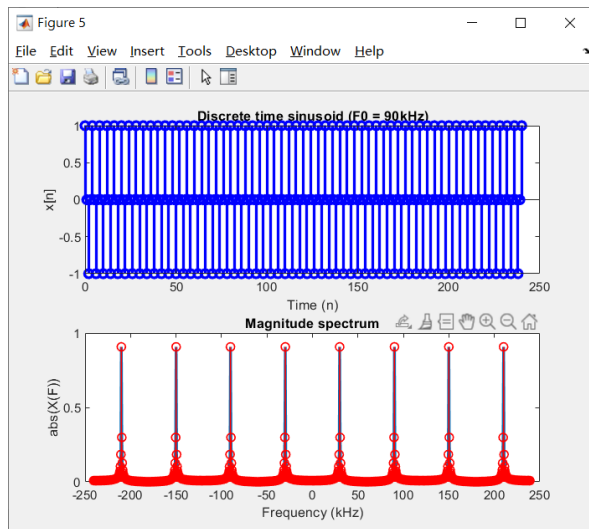


圖 1-13

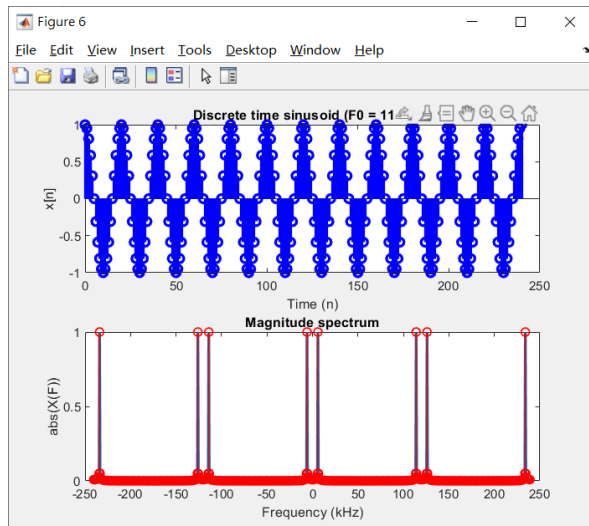


圖 1-14

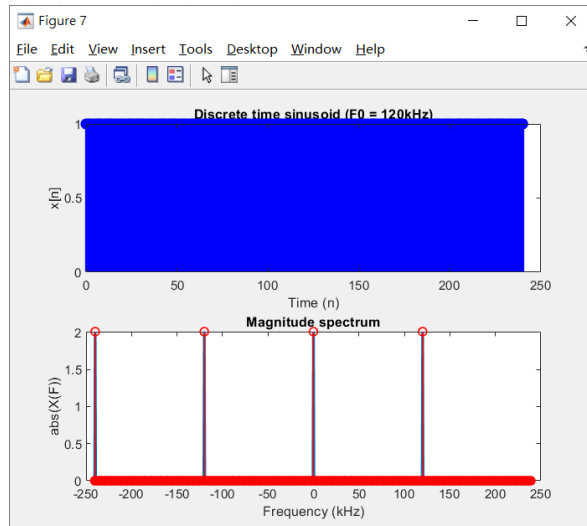


圖 1-15

- (g) 由以上的實驗可以發現，若要使 CTFT 正確地保留且以程式實做出來，則頻率 F_0 的範圍需為 $[-F_s/2, F_s/2]$ ，這也符合了 sampling theorem，取樣頻率 F_s 必須大於 2 倍的頻率 F_0 ，使 frequency domain 的圖形不產生混疊，才能使保存下來的資訊不失真。

2. Apply the implemented CTFT for realistic signal

analysis, system design and implementation

- (a) 透過 Part1 的方法分別對 ECG 訊號的一個心跳週期（擷取點 6610~點 8064）和完整訊號作 Fourier analysis，其結果如下圖 2-1、圖 2-2，可看出圖 2-1 的 magnitude spectrum 比起圖 2-2 較為清楚，且由於每個心跳週期的波型皆大致類似，因此圖 2-1 的 magnitude spectrum 就能提供我們所需的資訊，所以我們將會選擇較清楚的一個心跳週期的 magnitude spectrum，而不是較為雜亂的完整訊號，作為設計電路的訊號。此時可由 magnitude spectrum 的主要頻率來決定 pre-amplifier 的頻寬，以圖 2-1 的 magnitude spectrum 觀察來看，其應為一個 low-pass filter，主要頻率大致落在 $-100\text{Hz} \sim 100\text{Hz}$ 區間，則其 cutoff frequency 應為 100Hz 左右，若我們設計的 cutoff frequency 為 100Hz ，為了符合 sampling theorem，此時 ADC 的 sampling rate 應至少為 200Hz 。

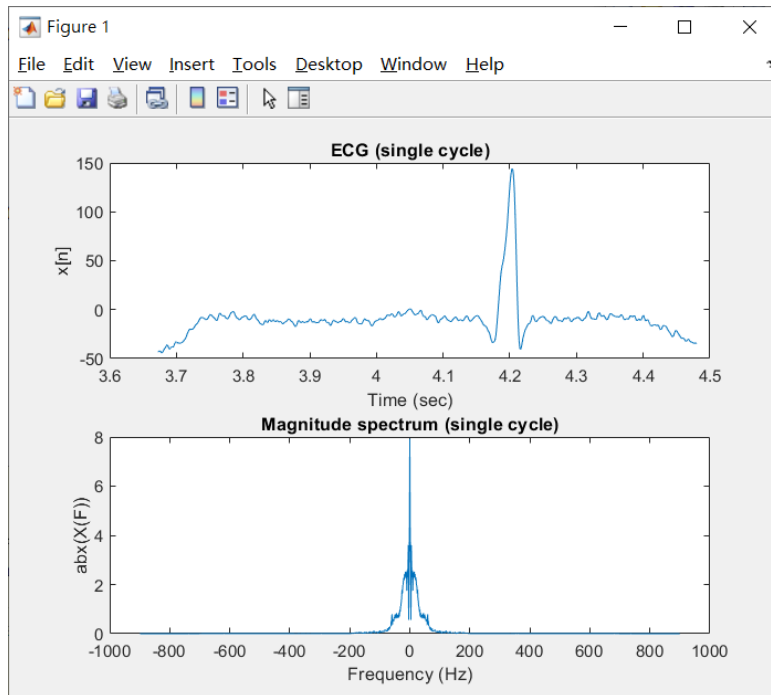


圖 2-1

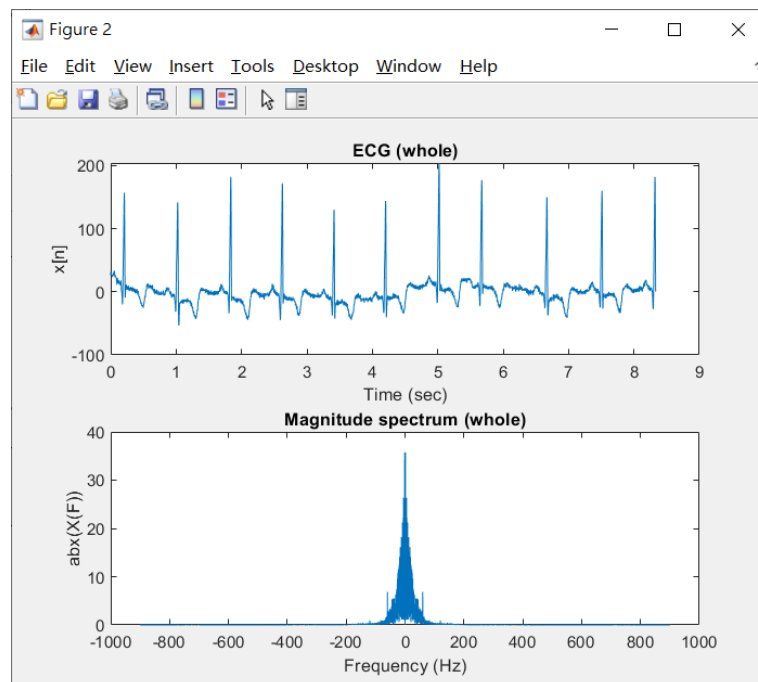


圖 2-2

(b) 為了比較此兩種 magnitude spectrum 的差異，下圖 2-3 為放大後以及疊圖後的樣子，可發現其趨勢大致相同，但完整訊號的 spectrum 多了很多震盪，這是由於完整訊號可以被視為一個心跳週期訊號 convolve 一個 impulse train，如下圖 2-4 所示，然而每個心跳週期的波形都有著些微差異，這使得每個 spectrum 也有著些許差異，疊加起來後就會產生出看似很雜亂、很多震盪的 spectrum。

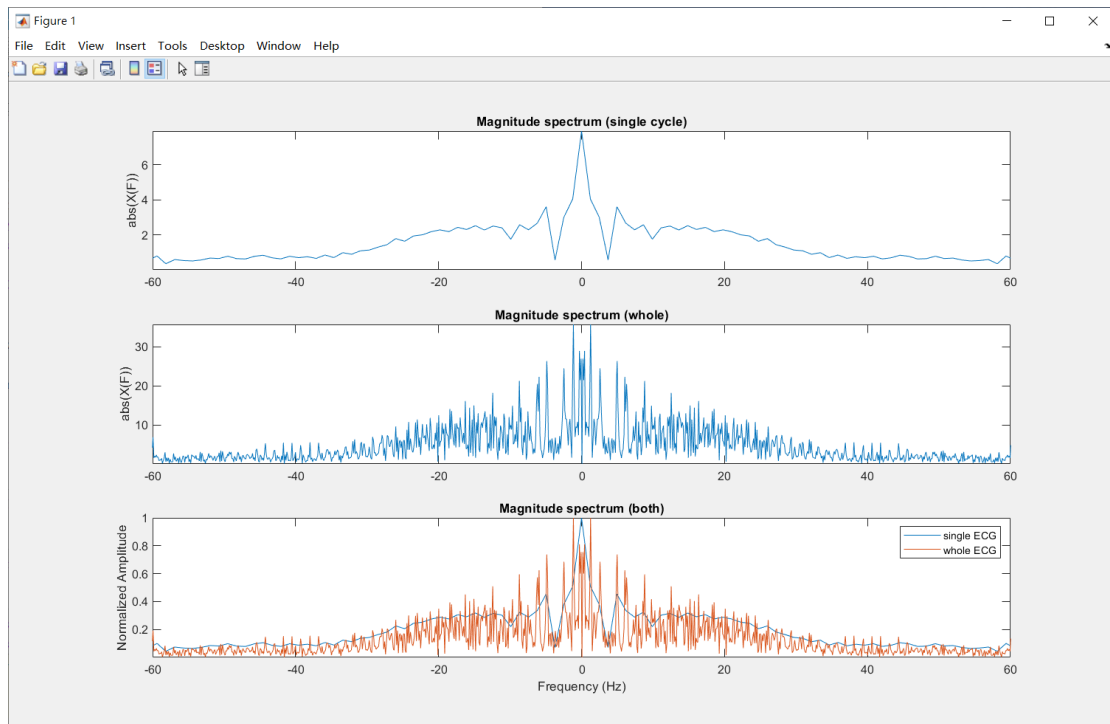


圖 2-3

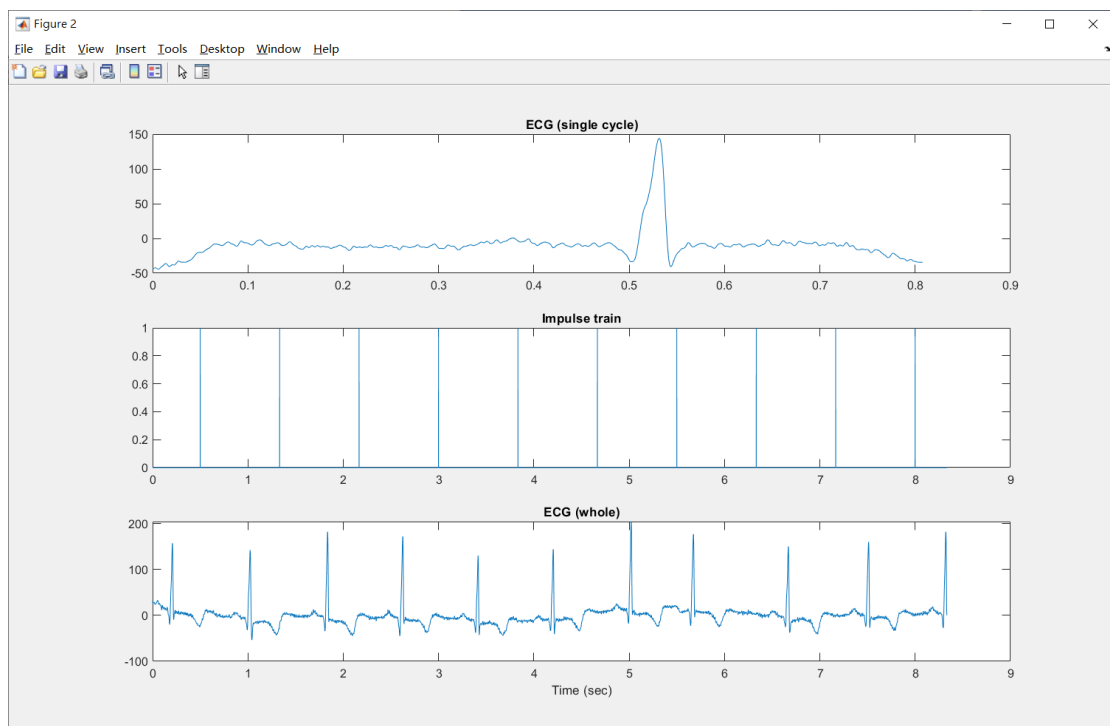


圖 2-4

(c) 為了得知心跳的頻率，我們應觀察含有完整訊號所產生之 spectrum，下圖 2-5 即為放大後的結果，發現最大值大約位於 $\pm 1.2\text{Hz}$ 左右，推論其應該代表著心率，因為在 time domain 的波形中，最明顯的頻率即為心率，其每隔一個心跳週期，就會產生一個極值，則此頻率應在 spectrum

中有著最大值，而我們可以看出此訊號約在8.2秒裡產生了10個心跳，心率約為 $10/8.2 \approx 1.2\text{Hz}$ ，也驗證了我們的想法。此外，於圖 2-3 中，我們可以發現單一心跳週期的 spectrum 在 $\pm 1.2\text{Hz}$ 的地方，並沒有特別的極值，也就是說這是完整訊號所提供的額外資訊，代表著心跳頻率。

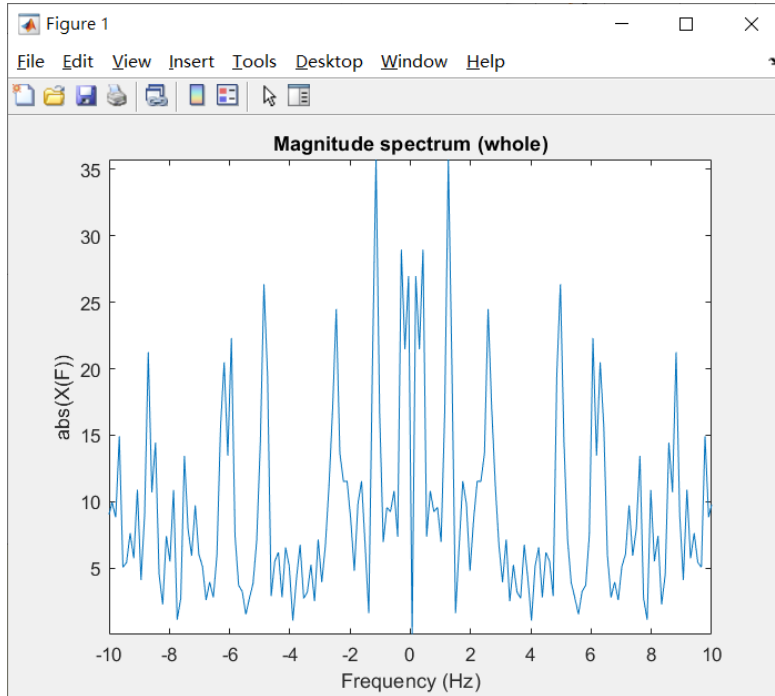


圖 2-5

(d) 透過 moving average filter 所轉換的 CTFT 特性，我們可以知道當

$x(t) = 1, |t| < T_1$ ，則其 $X(j\omega)$ 的 zero-crossing 位置在 $k * \frac{\pi}{T_1}, k \in \mathbb{Z}$ 上，

將 x 軸換成頻率 F 的話，則 zero-crossing 位置在 $k * \frac{1}{2T_1}, k \in \mathbb{Z}$ 上。因此

為了消除在60、120、180...Hz的雜訊，可知所設計之 filter 的 T_1 需符合以下關係式： $\frac{1}{2T_1} = 60$ ，則 $T_1 = \frac{1}{120}$ ，且此 sinc function 的最大值應

為 $2T_1 = \frac{1}{60}$ 。為了在程式上實作此 filter，我們以 ECG 訊號的 F_s 將 T_1 做

轉換，可知 $N_1 = F_s * T_1 = 1800 * \frac{1}{120} = 15$ ，則數值為1的長度 $N = 30$ ，

而為了使訊號在通過 filter 後的振幅維持相近比例，我將 $X(j\omega)$ 的最大值設計為1，也就是將此 filter 再乘上60，實作之程式碼如下：

```
N = 30;
h = [ones(1, N) zeros(1, Npoint_single-N)]*60;
H = T*fftshift(fft(h));
mag_H = abs(H);
```

其 magnitude spectrum 如下圖 2-6 所示，透過圖 2-7 的放大可看出其在頻率為 60 的倍數時的值為 0。接著我們將先前一個心跳週期的訊號通過此 filter 後，其在 time domain 上的前後變化圖如圖 2-8 所示，可看出訊號變得較為平滑，而 frequency domain 上的前後變化圖如圖 2-9 所示，可看出除了在頻率 $\pm 60, \pm 120 \text{ Hz}$ 位置上的訊號被消除掉了，其他資訊皆保持相同。另外，在圖 2-10 的疊圖分析上，也可以明顯看出我們設計出的 filter 正確的幫助我們消除掉了在頻率 $\pm 60, \pm 120 \dots \text{ Hz}$ 的雜訊。

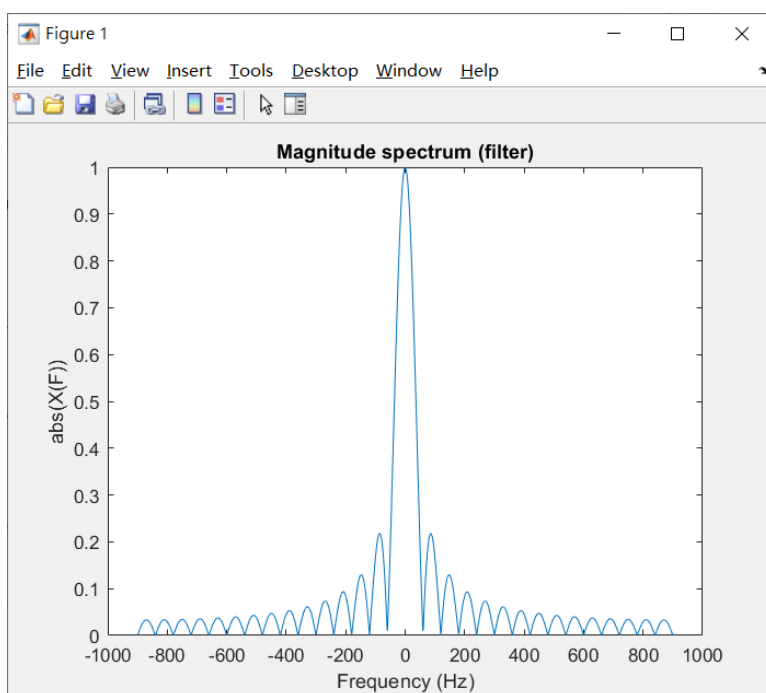


圖 2-6

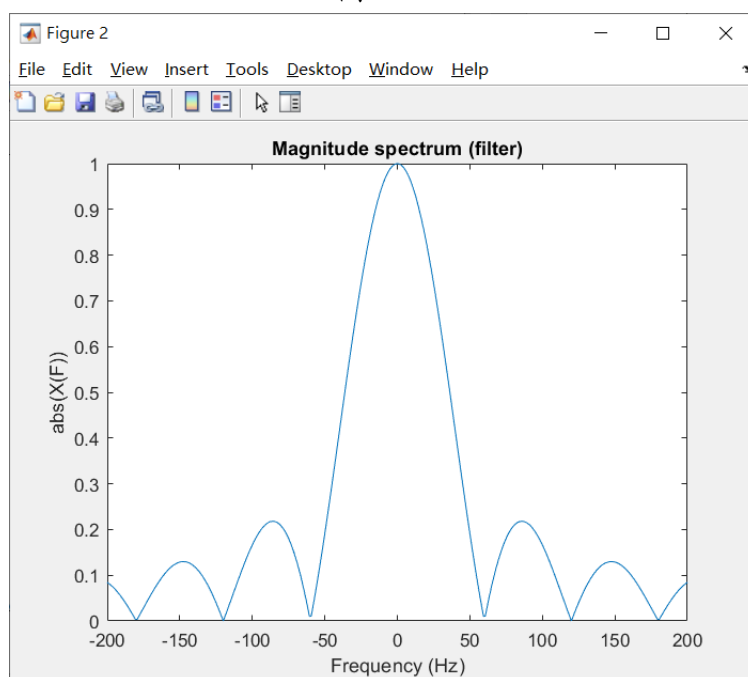


圖 2-7

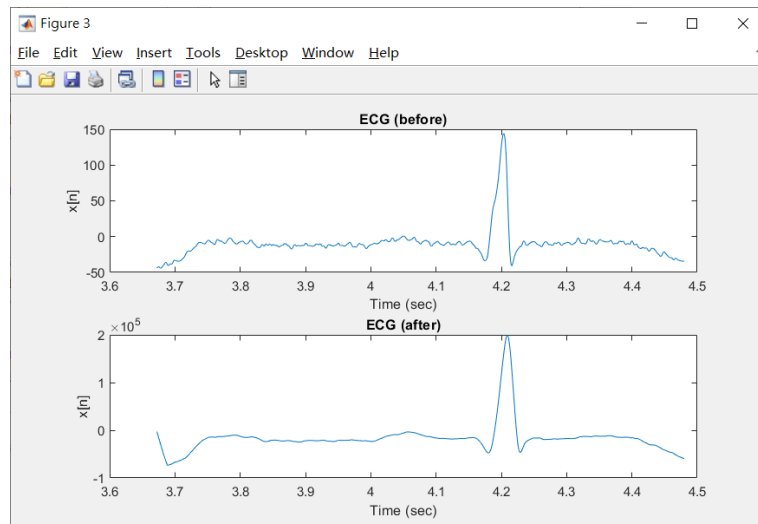


圖 2-8

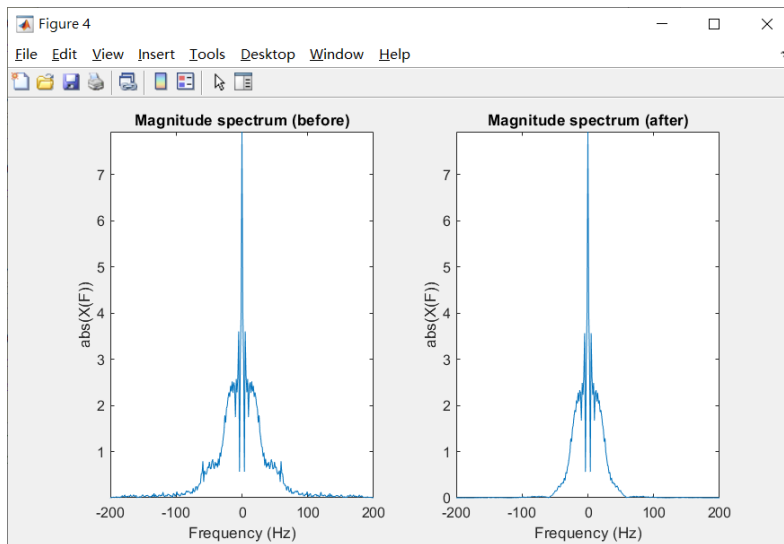


圖 2-9

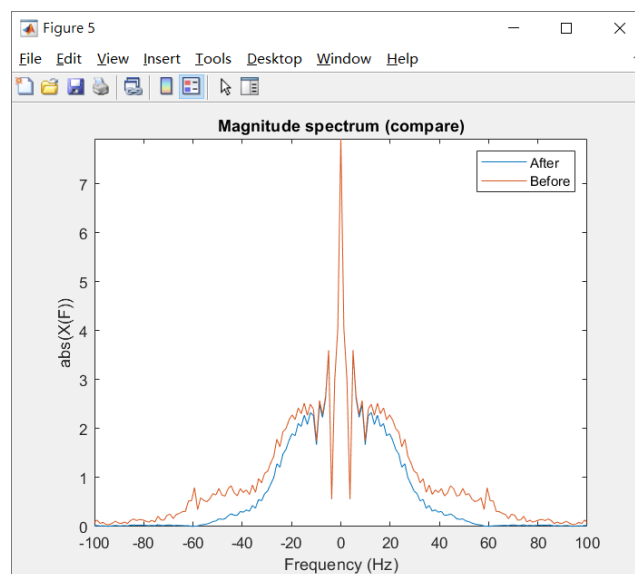


圖 2-10

(e) 根據 HW2 的資訊，我們可知 $y = ay[n - D] + x[n]$, $a = 0.7$, $D = 819$

$$F\{y\} = F\{ay[n - D] + x[n]\}$$

$$\rightarrow Y(e^{j\omega}) = a(e^{-j\omega})^D Y(e^{j\omega}) + X(e^{j\omega})$$

$$\rightarrow \frac{Y(e^{j\omega})}{X(e^{j\omega})} = H(e^{j\omega}) = \frac{1}{1 - ae^{-j\omega D}}$$

$$\rightarrow H(F) = \frac{1}{1 - ae^{-j2\pi FD}}$$

由此公式計算後並作圖可得如下圖 2-11 的 magnitude spectrum，放大後如下圖 2-12 所示。

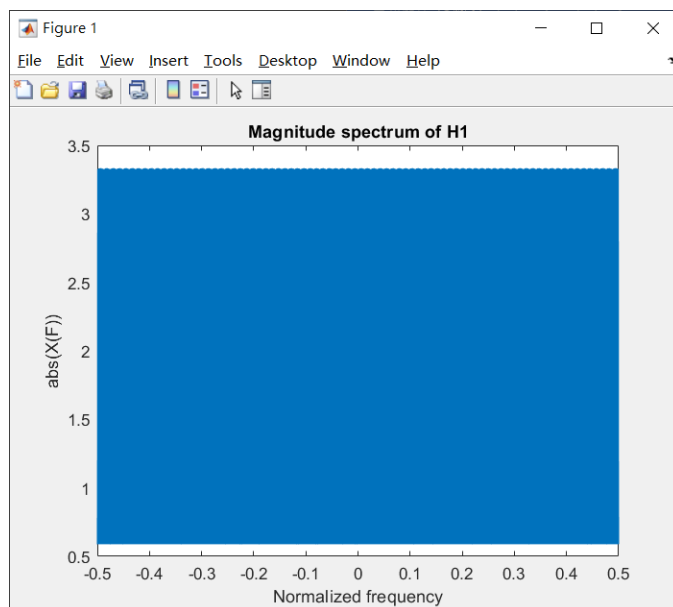


圖 2-11

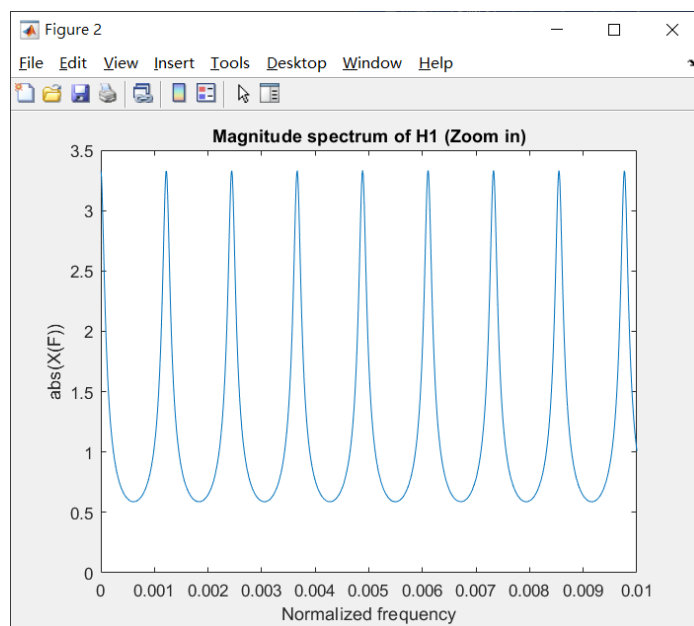


圖 2-12

此外，根據 $H(e^{j\omega}) = \frac{Y(e^{j\omega})}{X(e^{j\omega})}$ ，我們也可由輸出和輸入的數據，分別將其進行 fourier analysis 再相除，即可得到 frequency response，其作圖後如下圖 2-13，放大後的樣子如下圖 2-14。

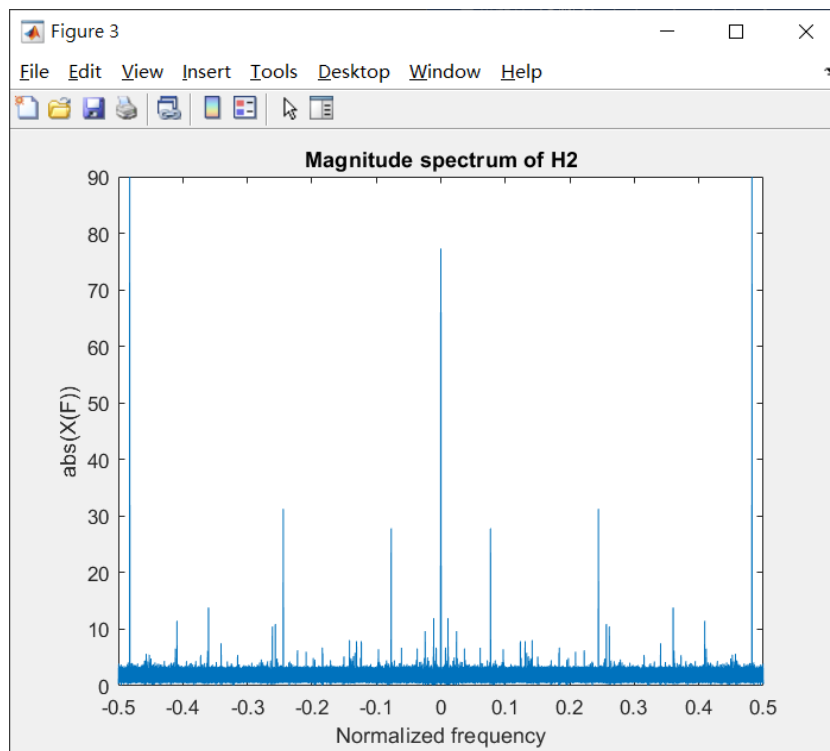


圖 2-13

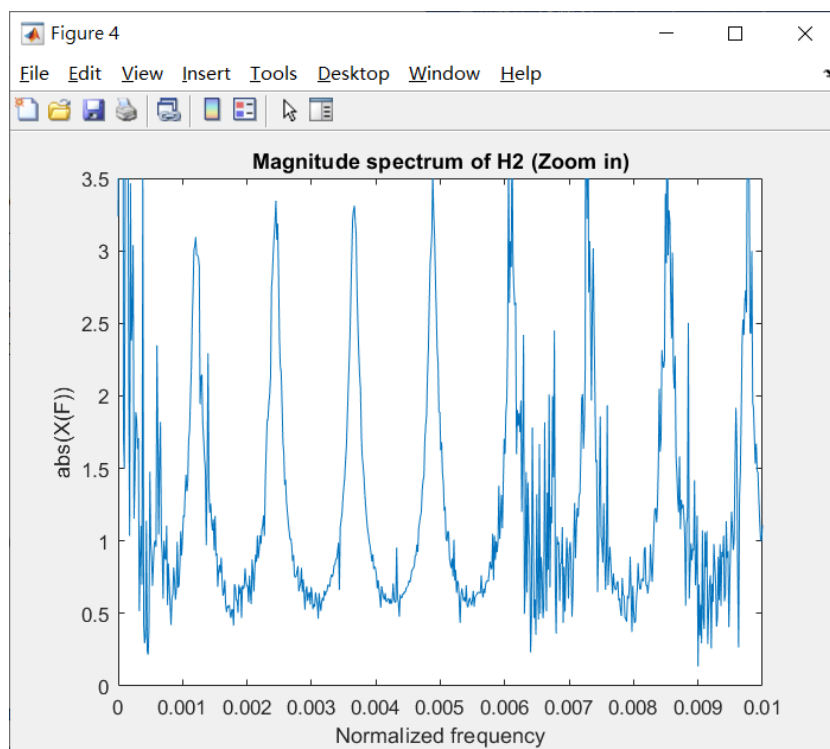


圖 2-14

為了瞭解此兩種計算 frequency response 的方法的差異，我們將其進行疊圖分析，如下圖 2-15 所示，可發現兩種方式大致上相似，但第二種方法在某些地方會出現異常大的值，推斷應為某些 $X(F)$ 的值趨近於0所造成，使得 $H(F)$ 的值趨近於無限大，而在第一種方法的公式推導並不會發生這種問題。下圖 2-16 則為放大後的結果，可看出其波形也大致相似，但第二種方法的波形較為雜亂，應為測量上的些許誤差所造成的。

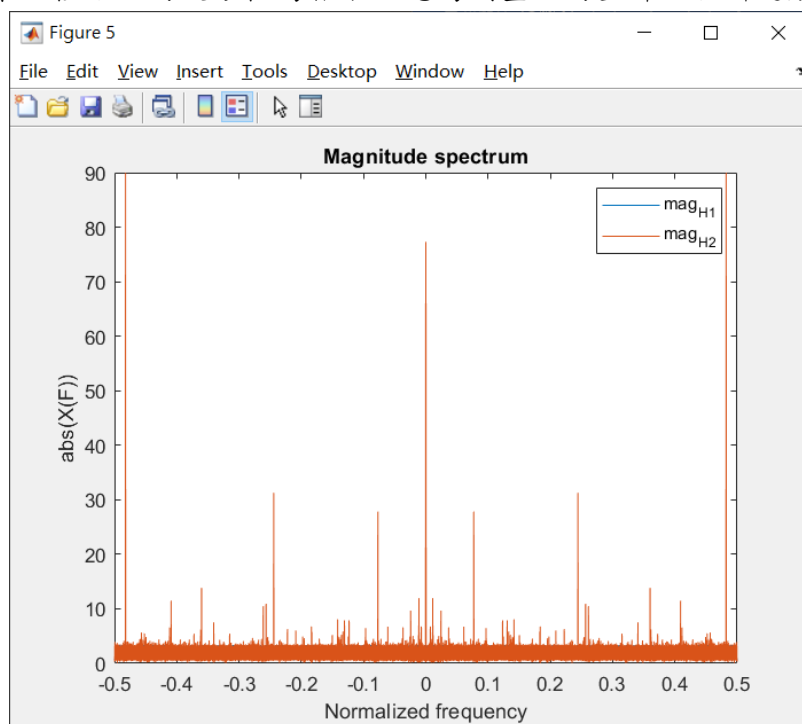


圖 2-15

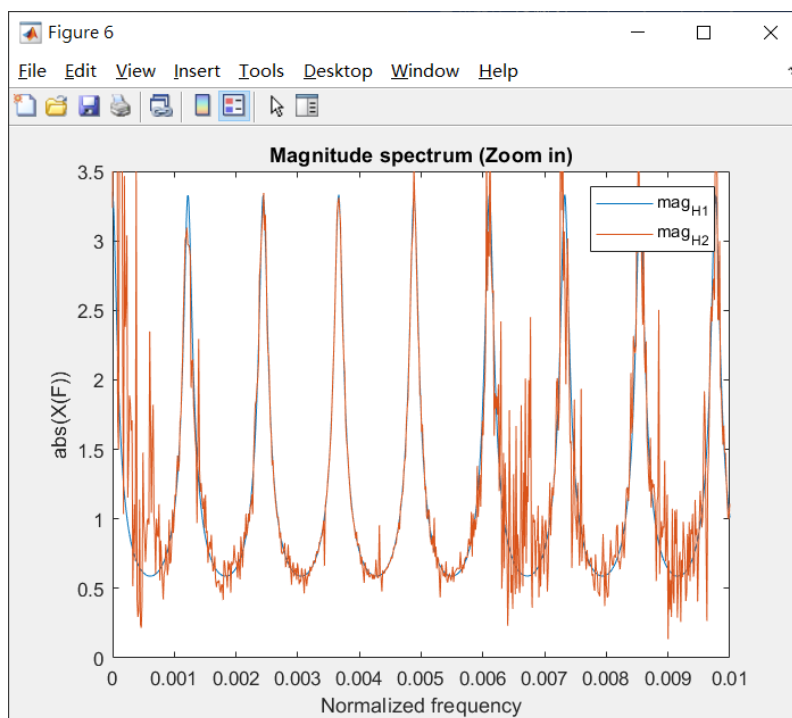


圖 2-16

最後，由圖 2-12、圖 2-14、圖 2-16，這些放大後的 spectrum 皆可看出其波形具有週期性的變化，每隔一個週期就會出現在一個極大值，使得此波形看起來像是梳子一樣，這也是 $y = ay[n - D] + x[n]$ 這個系統為什麼稱為”Comb” reverberator 的原因。

Bonus：由於 ECG 訊號的 $F_s = 1800$ ，為了消除在 60、120、180 ... Hz 的雜訊，我們將 comb reverberator 的 D 值設為 30，並將 mag_H 上下顛倒後再透過平移將極小值位移至 0 處，實作之程式碼如下：

```
a = 0.7;
D = 30;
Fs = 1800;
Npoint = length(ECG_new);
dF = 1/Npoint;
f_axis = ((1:1:Npoint)-(Npoint+1)/2)*dF;
H = ones(1, Npoint)./(1-a*exp(-sqrt(-1)*2*pi*f_axis*D));
mag_H = 0.5*(-abs(H)+3.3);
pha_H = angle(H);
```

並分別將其 magnitude spectrum 和 phase spectrum 作圖，如下圖 2-17、圖 2-18 所示，可看出此 filter 可消去 60、120 ... Hz 的雜訊，且其 phase spectrum 為非線性的，而先前的 moving average filter 的 phase spectrum 則為線性的。

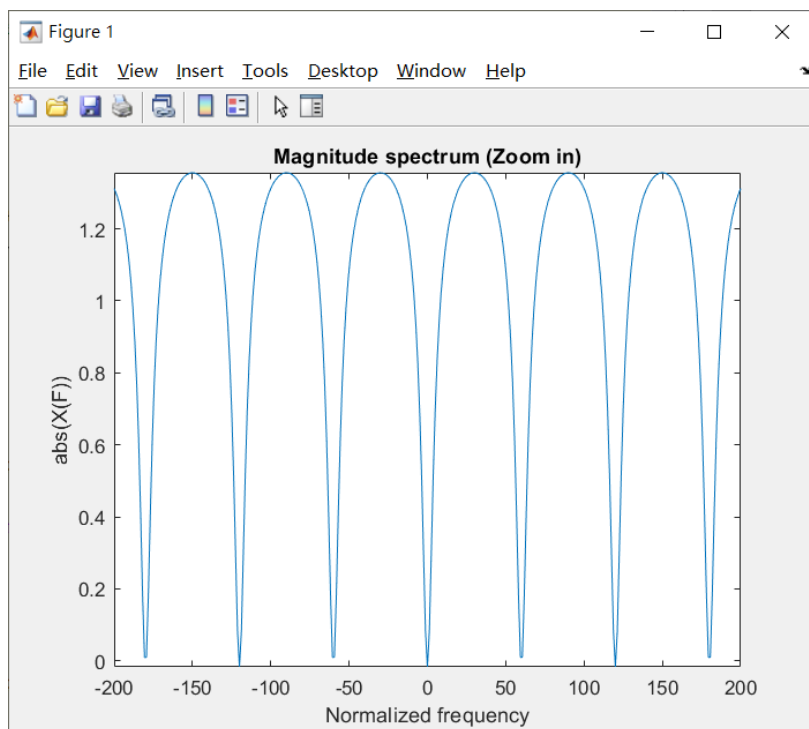


圖 2-17

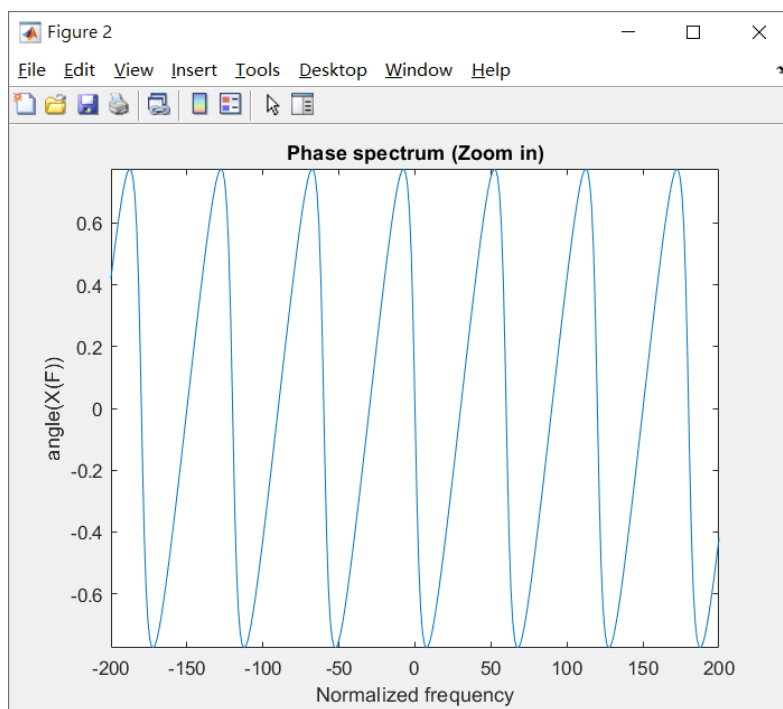


圖 2-18

將 ECG 訊號通過此 filter 後的 magnitude spectrum 並與原先的 spectrum 做比較如下圖 2-19 所示，其會出現的問題為在消去雜訊時，同時也消去了 0Hz 附近的訊號。此外，也將此結果與先前利用 moving average filter 消除雜訊後的 spectrum 做比較，如下圖 2-20 所示，可發現非線性與線性的 filter 所造成的差異應為：非線性的 spectrum 的振盪會較大，在靠近 0Hz 位置的值會相對較大，而線性的 spectrum 則較平順的維持原始 spectrum 的資訊。

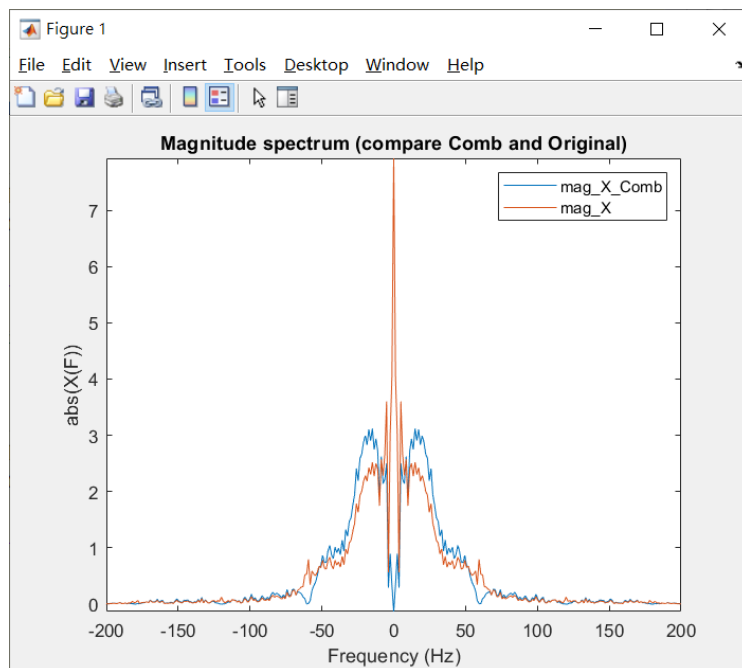


圖 2-19

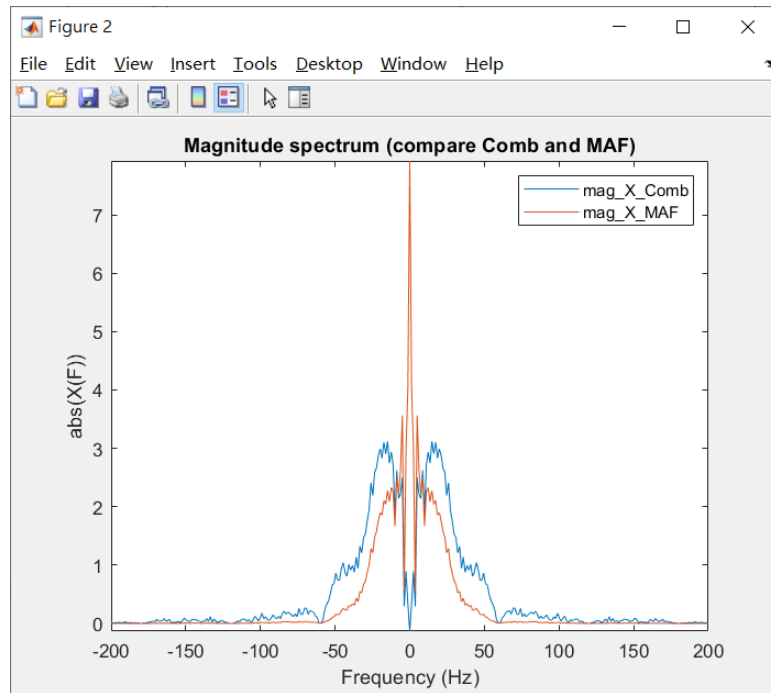


圖 2-20